

九州大学工学部 正員 ○後藤恵之輔  
 " " 山内豊聰  
 " " 学生員 兵動正幸  
 鹿児島高専 正員 村田秀一

### 1. まえがき

1968年のびひの地震以来、シラスの地震時挙動が注目されるようになり、一次シラスの斜面崩壊と沖積シラスの液状化とか土質工学上の重要な問題となつたのは、周知のとおりである。後者については、既にかなりの成果が得られるに至つてはいるが、前者に関する研究は少なく、情報過少の感を否めない。本文では、斜面を有するシラス地山を対象として、有限要素法による地震応答解析を実施し、シラス斜面の地震時挙動の基礎資料を得んとするものである。

### 2. 解析モデルと計算条件

解析の対象としたシラス地山のモデルを Fig. 1 に示す。斜面の高さは 15m、基盤までの深さ D は 30m を標準とし、水平方向には 390m の領域を設定した。シラスの動的弾性定数 E については、測定例がきわめて少なく、Fig. 2 に示す程度である。

図には、一次シラスのみならず沖積シラスのヤンク率も示してある。ここでは、表の測定結果からヤンク率 E = 1000, 5000, 10000 kg/cm<sup>2</sup>, ポアソン比 ν = 0.25 の値を採用した。単位体積重量を γ = 1.44 m<sup>3</sup> とし、内部減衰定数はすべてのモードに対する h = 0.05 の一定値とした。なお、応答計算に際しての入力地震動としては、上下動

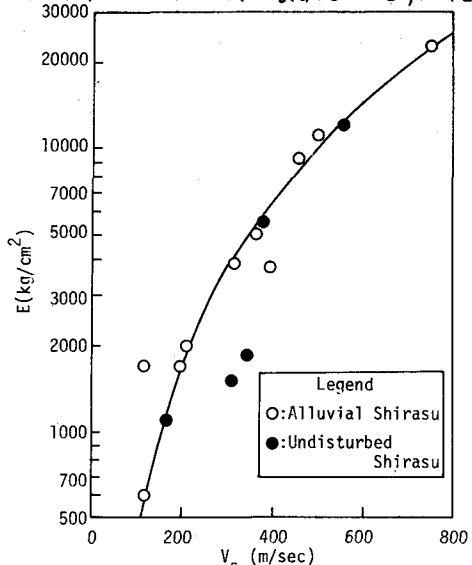
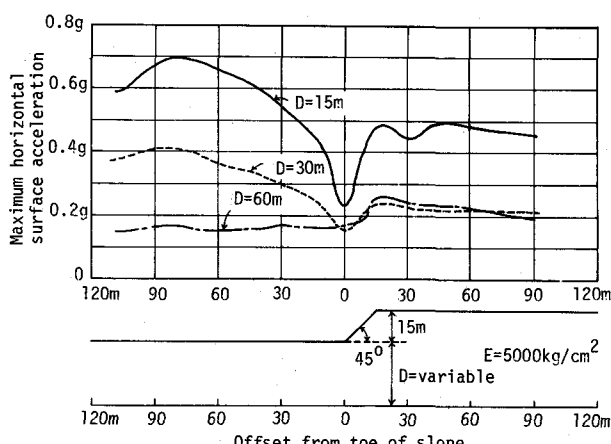
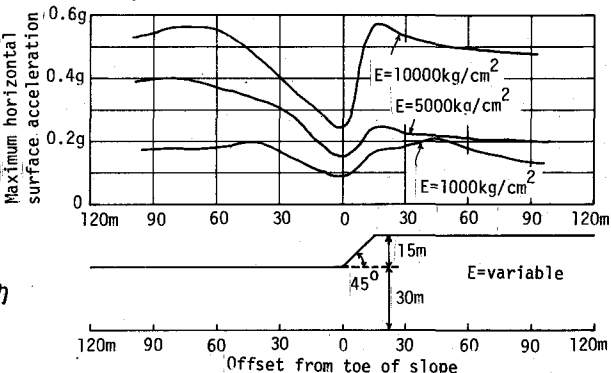
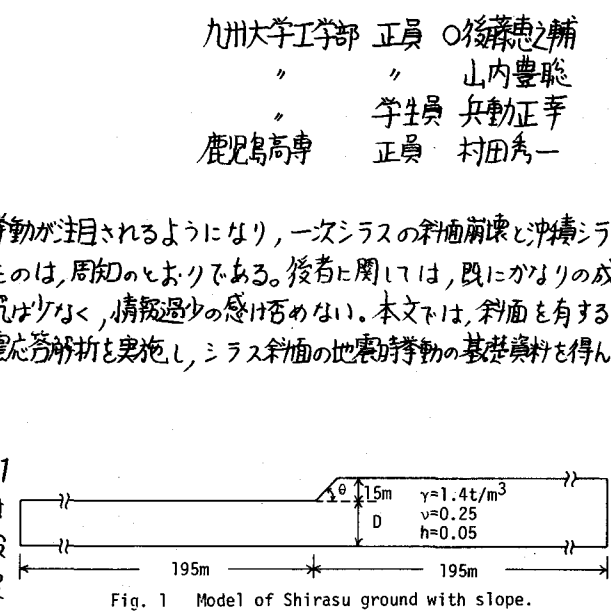


Fig. 2 Dynamic modulus of Shirasu. Fig. 4 Influence of base depth on ground surface accelerations.



成の影響<sup>2)</sup>を考慮して、El Centro (1940) の NS 成分と UD 成分の同時記録波形を用いている（ただし、倍率 = 0.5）。

### 3. 解析結果

Fig. 3 はシラス地山の材料特性、とくにヤング率の地表面最大加速度に与える影響を示すものである。図から明らかのように、応答水平加速度はヤング率が太なるほど大きく、斜面逆摩耗の変化も著しい。

地表面最大加速度を基盤の深さについて示せば、Fig. 4 のとおりであり、基盤が深い場合は、地山の幾何学形状、すなわち斜面の存在が応答水平加速度に与える影響は大きいことが認められる。D=15, 30 m では応答水平加速度は低地の方が大であるのに對し、D=60 m では逆に台地上、ひかんづくのり肩逆摩耗最大値の得られることが特徴的である。

斜面の傾斜角と地震応答との関係も、Figs. 5～8 に示す。Fig. 5 に見られるように、斜面の地表面最大加速度に与える影響は、のり先からのり肩逆摩耗でのごく小範囲に限定されている。

Figs. 6～8 は、それぞれのり肩の伝達関数、応答水平加速度および応答水平変位に対する時間履歴を表わすが、いずれも傾斜角のいかんを問わず同様の変化を示すことが明らかである。しかし、Figs. 5 と 8 においては、傾斜角の大きさほど、のり肩の応答水平加速度および応答水平変位は増大することがうかがわれる。

なお、鉛直方向の応答結果については、水平方向のそれに対してかなり小なるため言及しないが、上記と同様の結論が導き出されるところを記述する。

1) 表後一部他、地盤研究費自然災害特別研究研究会、No. A-471 (1979).

2) Idriss, I.M. & Seed, H.B.: The Response of Earth Banks during Earthquakes, Univ. of Calif. (1966).

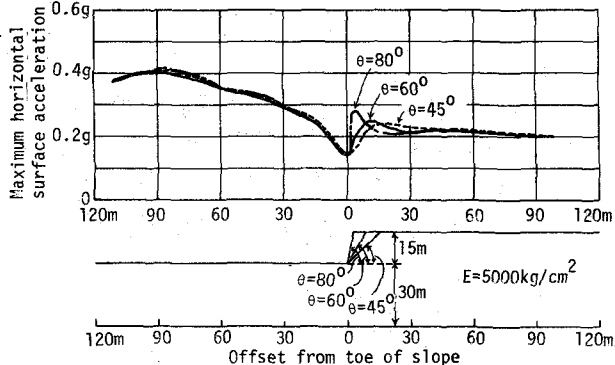


Fig. 5 Influence of slope gradient on ground surface accelerations.

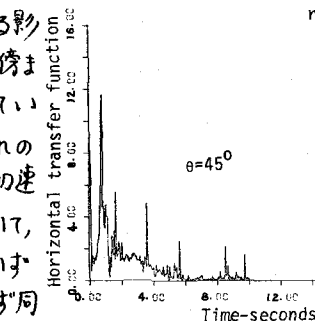


Fig. 6 Transfer function for ground surface accelerations.

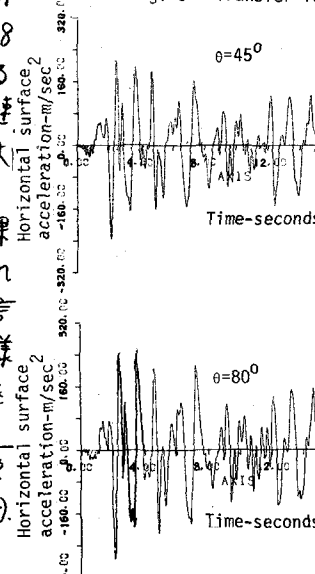
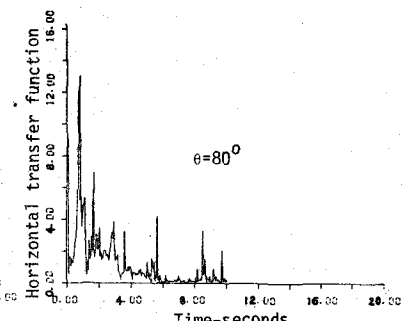


Fig. 7 Time history of ground surface accelerations.

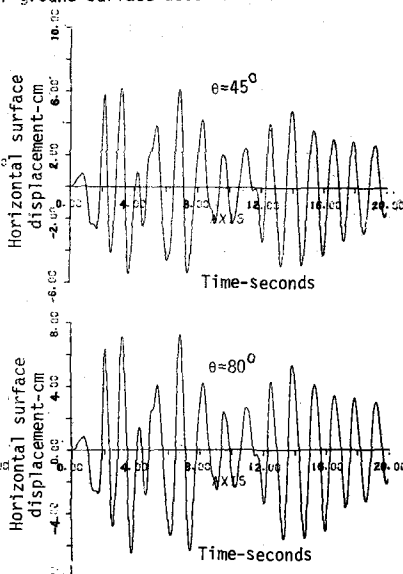


Fig. 8 Time history of ground surface displacements.